Révision: 8035

Date: 14/12/2011 Page: 1/7

Clé: V8.01.106

Titre : FDLV106 - Calcul d'amortissement ajouté en écoulem[...]

Responsable : Nicolas GREFFET

FDLV106 - Calcul d'amortissement ajouté en écoulement annulaire

Résumé:

Ce test du domaine fluide/structure met en œuvre le calcul de masse et d'amortissement ajoutés sur une structure cylindrique soumise à un écoulement annulaire qu'on suppose potentiel. On calcule dans un premier temps masse et amortissement ajoutés par l'écoulement sur la structure pour différentes vitesses amont ($4\,m/s$, $4.24\,m/s$ et $6\,m/s$), ceci sur un modèle 3D pour le fluide et coque pour la structure. La structure a un déplacement de rotation autour d'un pivot situé à l'extrémité aval du cylindre par rapport à l'écoulement .

Les coefficients déterminés, on les affecte à un modèle discret équivalent à 1 ddl masse-ressort-amortisseur, sur lequel on effectue une analyse modale, afin de déterminer les fréquences propres complexes du système pour les différentes vitesses d'écoulement :

4 m/s: amortissement,

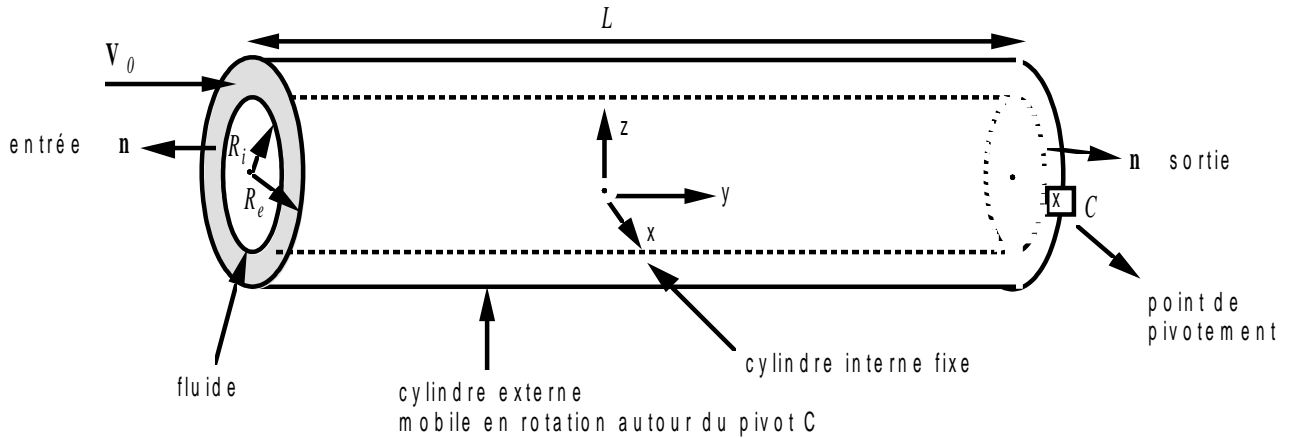
 $4.24 \, m/s$: vitesse critique, amortissement nul,

6m/s: amortissement négatif, flottement.

Date: 14/12/2011 Page: 2/7 Responsable: Nicolas GREFFET Clé: V8.01.106 Révision: 8035

Problème de référence

1.1 Géométrie



$$L=50 m$$

$$R_i = 1 m$$

$$R_e = 1.1 \, m$$

C: point pivot de la structure externe

1.2 Propriétés des matériaux

Fluide : masse volumique $\rho_{\rm g} = 1000\,{\rm kg/m}^3$ (eau).

Structure : $\rho_s = 7800 \, kg/m^3$; $E = 2.10^{11} \, Pa$; v = 0.3 (acier).

1.3 Conditions aux limites et chargements

Fluide:

pour simuler l'écoulement permanent, on impose sur la face d'entrée du fluide une vitesse normale de -4m/s (par analyse thermique, on impose un flux de chaleur normal équivalent de -4).

pour calculer la perturbation fluide apportée par le mouvement du cylindre externe Dirichlet en un nœud du fluide.

Structure:

on impose au cylindre externe un déplacement du type $X_i = \left(\frac{L}{2} - y\right)^{\frac{1}{2}}$ aux nœuds du maillage de ce cylindre.

Date: 14/12/2011 Page: 3/7 Clé: V8.01.106 Responsable: Nicolas GREFFET Révision: 8035

Solution de référence 2

2.1 Méthode de calcul utilisée pour la solution de référence

Pour le calcul des coefficients ajoutés :

on montre [bib1] que les coefficients de masse et d'amortissements ajoutés dépendent du potentiel permanent des vitesses fluides $\bar{\phi}$ ainsi que de deux potentiels fluctuants ϕ_1 et ϕ_2 : ces potentiels s'écrivent dans le cas du mouvement de rotation du cylindre externe autour du pivot C [bib1]:

$$\begin{cases} \overline{\boldsymbol{\varphi}} = V_0 y \\ \boldsymbol{\varphi}_1 = \frac{R_e^2}{R_e^2 - R_i^2} \left(r + \frac{R_i^2}{r} \right) \left(y + \frac{L}{2} \right) \sin \theta \text{ avec } \mathbf{X}_i = \left(\frac{L}{2} - y \right) \mathbf{z} \\ \boldsymbol{\varphi}_2 = \frac{R_e^2 V_0}{R_e^2 - R_i^2} \left(r + \frac{R_i^2}{r} \right) \sin \theta \end{cases}$$

Or les coefficients modaux ajoutés projetés sur ce mode de rotation s'écrivent :

$$\begin{split} & M_a = \rho \! \int_{\text{cylindre externe}} \! \boldsymbol{\varphi}_1 \mathbf{X}_i \; . \; \mathbf{n} \; dS \\ & C_a = \rho \! \int_{\text{cylindre externe}} \! \left(\boldsymbol{\varphi}_2 + \! \boldsymbol{\nabla} \overline{\boldsymbol{\varphi}}_. \boldsymbol{\nabla} \boldsymbol{\varphi}_l \right) \! \left(\mathbf{X}_i \; . \; \mathbf{n} \right) \; dS \end{split}$$

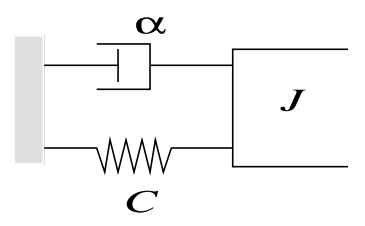
soit:

$$C_a = -\rho \frac{V_0 R_3^e \pi}{R_2^e - R_i^2} \left(R_e + \frac{R_i^2}{R_e} \right) L^2$$

$$M_a = +\rho \frac{R_e^3}{R_e^2 - R_i^2} \left(R_e + \frac{R_i^2}{R_e} \right) \frac{L^3 \pi}{3}$$

Pour le système à un degré de liberté équivalent :

Il s'agit d'un système masse-ressort-amortisseur représentant le mouvement de rotation du cylindre autour du pivot C aval.



l'inertie du système mécanique soumis à l'écoulement s'écrit : $J = I + M_a$

où I est l'inertie du cylindre extérieur pivotant par rapport à l'axe Cx (cf figure ci-dessous) en air.

Date: 14/12/2011 Page: 4/7 Clé: V8.01.106 Responsable: Nicolas GREFFET Révision: 8035

On montre [bib2] que cette inertie vaut :

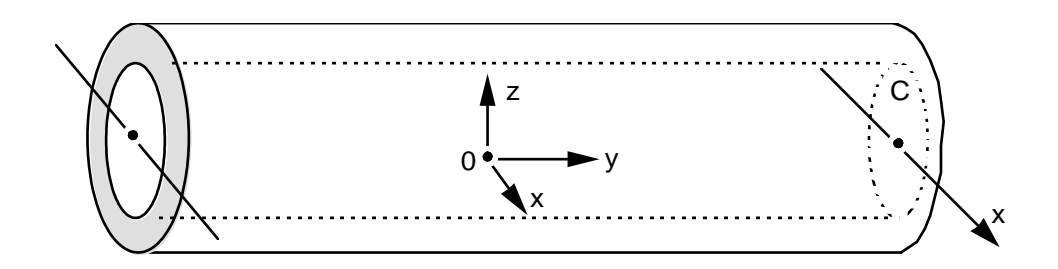
$$I = \frac{m}{6} (3R_e^2 + 2L^2)$$

où m est la masse du cylindre :

$$m = 2 \rho_s \pi R_o e L$$

où *e* est l'épaisseur du cylindre, *L* sa longueur totale.

 $\rho_{\rm s}$ est la masse volumique du cylindre.



ainsi
$$J = \frac{m}{6} \left(3R_e^2 + 2L^2 \right) + \rho \frac{R_e^3}{R_e^2 - R_i^2} \left(R_e + \frac{R_i^2}{R_e} \right) \frac{L^3 \pi}{3}$$

l'amortissement du système mécanique soumis à l'écoulement s'écrit : $\alpha = A + C_a$

où A est l'amortissement du système mécanique en air. Habituellement, A est égal à quelques % de l'amortissement critique du système : $A = 2\xi\sqrt{IK}$.

où I est l'inertie du cylindre en air calculé ci-dessus et K la rigidité du ressort au point de pivotement C . On prend l'amortissement réduit ξ égal à 1 %.

Ainsi, l'amortissement total du système sous écoulement s'écrit :

$$\alpha = \xi \sqrt{IK} - \rho \ V_0 \frac{R_e^3 \pi}{R_e^2 - R_i^2} \left(R_e + \frac{R_i^2}{R_e} \right) L^2$$

la rigidité du système mécanique soumis à écoulement s'écrit : $K = K + K_a$

où K est la rigidité du ressort en air. K_a est la rigidité ajoutée par l'écoulement. On montre [bib1] que celle-ci est nulle sur ce mode de rotation.

$$K_a = 0$$

Ainsi la rigidité totale du système est indépendante de la vitessse d'écoulement.

$$K = K$$

On calcule ensuite les modes complexes de ce système mécanique sous écoulement (vibrations libres amorties):

$$J\ddot{\theta} + \alpha\dot{\theta} + C\theta = 0$$

Responsable: Nicolas GREFFET

Date: 14/12/2011 Page: 5/7 Clé: V8.01.106 Révision : 8035

Les fréquences propres complexes de ce système s'écrivent [bib3] :

$$\Omega_{\text{lou}2}^R = -\xi \ \omega \pm i \ \omega \sqrt{1 - \xi^2}$$

avec
$$\xi = \frac{\alpha}{2J\omega}$$
 et $\omega = \sqrt{\frac{K}{J}} = \sqrt{\frac{K}{I + M_a}}$

 ξ : amortissement réduit du système

 ω : pulsation propre.

Applications numériques :

On a fait trois calculs d'amortissement ajouté correspondant à trois vitesses d'écoulement qui entraînent trois comportement vibratoires de la structure :

vitesse à 4 m/s

vitesse à $4.24 \, m/s$

vitesse à 6m/s

Les valeurs du système mécanique sont :

$$e = 2.10^{-2} m$$
 $L = 50 m$ $R_i = 1 m$ $R_2 = 1.1 m$

$$n R_i =$$

$$R_2 = 1.1 \ m$$

$$I = 4.5 \ 10^7 \, kg \ m^2$$

$$A = 4.24 \cdot 10^8 \ N.m \ rad^{-1}s$$

$$K = 10^{13} N.m rad^{-1}$$

Les masse et amortissement ajoutés apportés par l'écoulement valent :

$$I_a = 1.66 \ 10^{10} kg \ m^2$$
 (indépendant de la valeur de la vitesse d'écoulement)

Suivant la vitesse d'entrée du fluide, on a :

$V_0 = 4 \ m/s$	$C_a = -4.00 \ 10^8 \ N.m \ rad^{-1}s$
$V_0 = 4.24 \ m/s$	$C_a = -4.24 \ 10^8 \ N.m \ rad^{-1}s$
$V_0 = 6 \ m/s$	$C_a = -5.94 \ 10^8 \ N.m \ rad^{-1}s$

Les amortissements du système fluide/structure s'écrivent :

à
$$V_0 = 4 \ m/s$$
 : $\alpha = 0.24 \ 10^8 \ N.m \ rad^{-1}s$

L'écoulement n'amplifie pas les vibrations. L'amortissement structural interne est suffisamment important pour dissiper l'énergie apportée par l'écoulement à la structure. Le système est encore amorti.

à
$$V_0 = 4.24~m/s$$
 : $\alpha \approx 0$ (vitesse d'écoulement critique)

L'amortissement du système s'annule.

à
$$V_0 = 6~m/s$$
 : $\alpha = -1.5~10^8~N.m~rad^{-1}s$ (l'écoulement amplifie les vibrations)

L'amortissement du système à cette dernière vitesse est négatif : le système entre alors en instabilité de flottement.

Date: 14/12/2011 Page: 6/7 Responsable: Nicolas GREFFET Clé: V8.01.106 Révision: 8035

Les amortissements réduits correspondants s'écrivent :

$V_0 = 4 \ m/s$	$\xi = 1.1 \ 10^{-4}$
V = 4.24 m/s	$\xi = 0$ (en théorie)
$V_0 = 4.24 \ m/s$	$\xi = 1.380 \; 10^{-5} (\text{ avec les erreurs d'arrondi})$
$V_0 = 6 \ m/s$	$\xi = -6.6 \ 10^{-4}$

La pulsation propre reste quant à elle inchangée : $\omega = 12.5 \, Hz$.

2.2 Résultats de référence

Résultat analytique.

Références bibliographique 2.3

- 1) ROUSSEAU G., LUU H.T.: Masse, amortissement et raideur ajoutés pour une structure vibrante placée dans un écoulement potentiel - Bibliographie et implantation dans le Code_Aster - HP-61/95/064
- 2) BLEVINS R.D: Formulas for natural frequency and mode shape. Ed. Krieger 1984
- 3) SELIGMANN D, MICHEL R : Algorithmes de résolution pour le problème quadratique [R5.01.02], Manuel de Référence Aster.

Date: 14/12/2011 Page: 7/7

Titre : FDLV106 - Calcul d'amortissement ajouté en écoulem[...]

Responsable : Nicolas GREFFET Clé : V8.01.106 Révision : 8035

3 Modélisation A

3.1 Caractéristiques de la modélisation

Pour le système 3D sur lequel on calcule les coefficients ajoutés :

Pour le fluide : 480 mailles QUAD4

éléments de coques MEDKQU4

Pour le solide : 480 mailles QUAD4

éléments thermique THER_FACE4 sur les surfaces cylindriques

360 mailles QUAD4

éléments thermiques THER FACE4

sur les faces d'entrée et de sortie du volume fluide

720 mailles HEXA8

éléments thermiques THER_HEXA8 dans le volume annulaire fluide

3.2 Valeurs testées

Identification	Référence
Mode n°1	12.5 Hz 1.1 10 -4
à $V_0 = 4 m / s$ fréquence	
amortissement réduit	
Mode n°1	
à $V_0 = 4.24 m / s$ fréquence	12.5 Hz
amortissement réduit	1.380 10 ⁻⁵
Mode n°1	
à $V_0 = 6m/s$ fréquence	12.5 Hz
amortissement réduit	− 6.60 10 −4

4 Synthèse des résultats

L'outil de calcul d'amortissement sous écoulement (hypothèse potentielle) a été validé sur le mode de rotation d'une structure cylindrique soumise à un écoulement annulaire. Il faut cependant noter [bib1] que la très bonne concordance entre le modèle semi-analytique proposé pour comparaison et le calcul numérique n'est obtenue que si le cylindre est suffisamment long.

En effet, le modèle semi-analytique n'est en fait qu'une solution approchée du problème posé.